

Э., то направление ϕ_m на центр ф-ции J_d определяется по закону зеркального отражения от рабочей пологой грани штриха, т. е. углы β и β' (рис. 1), образованные падающим и дифрагированным ϕ_{max} лучами с нормалью n_{sh} к грани штриха, равны: $\beta' = \beta$. Угол ϕ_{max} , удовлетворяющий условию (1), наз. углом «блеска» (blaze), а длину волны, для к-рой выполняются это условие и условие $d(\sin \psi + \sin \phi_{max}) = m\lambda_{bl}$, — длиной волны «блеска» λ_{bl} . Область длин волн вблизи λ_{bl} наз. областью высокой концентрации энергии в данном порядке спектра, здесь образуется спектр наиб. интенсивности. Однако выполнение условий «блеска» приводит искажению интенсивности линий регистрируемого спектра. Если, напр., в исследуемом спектре имеется неск. спектральных линий одинаковой интенсивности, то в образовавшемся спектре только одна из них, совпадающая с λ_{bl} , будет иметь наиб. интенсивность (рис. 2), а интенсивность остальных линий $\lambda_1, \lambda_2, \dots, \lambda_6$ меньше и определяется «огибающей» ф-цией J_d , что необходимо учитывать при обработке спектров.

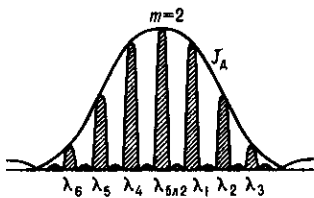


Рис. 2. Искажающее действие «огибающей» функции J_d на интенсивность результирующих интерференционных максимумов функции J_N в области $\lambda_{bl,2}$ спектра второго порядка.

Для оценки величины относит. искажений интенсивности регистрируемого спектра по сравнению с интенсивностью λ_{bl} «огибающую» ф-цию $(\sin u/u)^2$ можно преобразовать (из требования $u=0$ и $\psi+\phi=2\Omega$) к виду

$$(\sin u/u)^2 = \left[\sin \pi \left(m - \frac{\lambda_{bl}}{\lambda} \right) / \pi \left(m - \frac{\lambda_{bl}}{\lambda} \right) \right]^2 = \rho(\lambda).$$

Для отражат. Э. это выражение обычно наз. относительным коэф. отражения Э. $\rho(\lambda)$ по отношению к величине $\rho(\lambda_{bl,1}) = 1$, где $\lambda_{bl,1}$ — длина волны «блеска» в 1-м порядке спектра $m=1$. На рис. 3 приведены рассчитанные на ЭВМ графики ф-ции $\rho(\lambda)$ в зависимости от отношения $\lambda/\lambda_{bl,1}$ для $m=1, 2, 3$. Область полуширины ф-ции $(\sin u/u)^2$ при $u=\pm\pi/2$, где $\rho(\lambda)=0,405$, наз. осн. областью концентрации излучения или областью энергетич. эффективности Э.: $(\Delta\lambda)_{min} = \lambda_{bl,1} 4m / (4m^2 - 1)$ (рис. 3). В пределах этой области длин волн величина $\rho(\lambda)$ изменяется в интервале $0,405 < \rho(\lambda) < 1$, т. е. почти в 2,5 раза. Величина $(\Delta\lambda)_{min}$ зависит от порядка спектра m : максимальна в 1-м порядке $(\Delta\lambda)_{min} = (4/3)\lambda_{bl,1}$ и быстро уменьшается в спектрах 2-го,

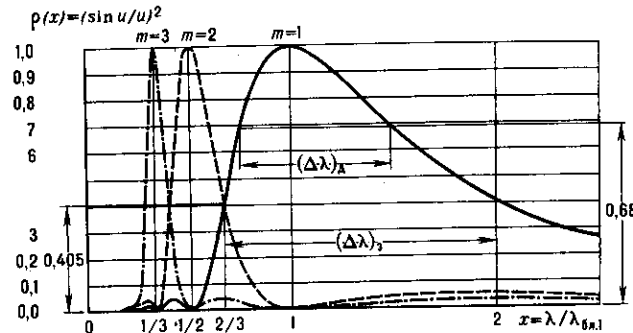


Рис. 3. График функции $(\sin u/u)^2 = \rho(x)$, $x = \lambda/\lambda_{bl,1}$, в зависимости от отношения $\lambda/\lambda_{bl,1}$; $(\Delta\lambda)_d$ — область дисперсии, $(\Delta\lambda)_i$ — область энергетической эффективности, $(\Delta\lambda)_n$ и $(\Delta\lambda)_l$, уменьшаются с увеличением m .

3-го и далее порядков. Поэтому Э. наиб. часто используется в условиях образования спектров 1-го порядка. Энергетич. область $(\Delta\lambda)_{min}$ 1-го порядка спектра больше обычно используемой области дисперсии $(\Delta\lambda)_n$, т. к. она свободна от переналожения спектров более высоких порядков $m=2, 3, \dots$. Расчет показывает, что при $m=1$ величина $\rho(\lambda)$ в пределах области дисперсии изменяется в интервале $0,68 < \rho(\lambda) < 1$, т. е. в ~1,5 раза. Такие изменения $\rho(\lambda)$ возможны, если для данного исследуемого спектра $\Delta\lambda = \lambda_2 - \lambda_1$ параметры Э. (Ω, d) и схема его установки выбраны так, чтобы выполнялось условие «блеска». Если условие «блеска» не выполняется, интервал изменения $\rho(\lambda)$ может быть больше, а величины $\rho(\lambda)$ неодинаковы на краях спектра. Поэтому выбор параметров Э. для проведения исследований в конкретной области спектра является важным. Если область спектра известна $\Delta\lambda = \lambda_2 - \lambda_1$, то величина λ_{bl} может быть определена из соотношения $\lambda_{bl} = 2\lambda_1\lambda_2 / (\lambda_1 + \lambda_2)$; в частности, для октавы [для к-рой $\lambda_2 = 2\lambda_1$ и к-рая при $m=1$ совпадает с областью дисперсии $(\Delta\lambda)_n$] $\lambda_{bl} = (4/3)\lambda_1$. При этом $\lambda_{bl} \neq (\lambda_1 + \lambda_2)/2$. Напр., для октавы видимой области ($\lambda_1 = 370$ нм, $\lambda_2 = 740$ нм) $\lambda_{bl} = 493,3$ нм; для октавы ИК-области ($\Delta\lambda = 4-8$ мкм) $\lambda_{bl} = 5,33$ мкм.

Постоянная Э. d и соответственно $N_1 = 1/d$ шт/мм выбираются из условия $d > \lambda_2$ (λ_2 — длинноволновая граница октавы в мкм). Для видимой области спектра обычно используются Э. с $N_1 = 1200$ шт/мм ($d = 0,83$ мкм = $1,12\lambda_2$) и $N_1 = 600$ шт/мм ($d = 1,66$ мкм = $2,25\lambda_2$). Для ИК-области, где спектральный диапазон составляет неск. октав, используется Э. с N_1 от 300 до 4 шт/мм.

Зная d и λ_{bl} , можно из ур-ий $d(\sin \psi + \sin \phi_m) = m\lambda_{bl}$ и $\psi + \phi_m = 2\Omega$ при заданном значении угла падения ψ найти величину Ω . Напр., для октавы видимой области с Э. с $N_1 = 600$ шт/мм при $\psi = 10^\circ$ и $m=1$ имеем $\Omega = 8,6^\circ$. Для ИК-области 4—8 мкм $N_1 = 100$ шт/мм, $m=1$, $\psi = 10^\circ$ имеем $\Omega = 15,5^\circ$.

Если Э. имеет угол Ω , несколько отличающийся от расчётного при заданном угле падения ψ , то изменением угла ψ можно удовлетворить условию точного «блеска» при этом угле Ω .

При наиб. часто используемой автоколлимаци. схеме установки Э. $\psi = \phi = \Omega$ и $2d \sin \Omega = m\lambda_{bl}$ величина Ω определяется однозначно: для октавы в видимой области спектра $\lambda_{bl} = 0,493$ мкм, $N_1 = 600$ шт/мм, $m=1$, $\Omega = 8,5^\circ$.

Расчёт области концентрации излучения и рабочей области спектра, создаваемого Э., упрощается, если излучение характеризовать не длиной волны λ , а волновым числом $\tilde{v} = 1/\lambda$ см⁻¹. При этом выражение для коэф. отражения Э. принимает вид

$$\rho(\tilde{v}) = (\sin u/u)^2 = [\sin \pi(m - \tilde{v}/\tilde{v}_{bl,1}) / \pi(m - \tilde{v}/\tilde{v}_{bl,1})]^2.$$

В этом случае ф-ция $\rho(\tilde{v})$ оказывается симметричной относительно $\tilde{v}/\tilde{v}_{bl,1}$ (рис. 4) и имеет одинаковый вид для всех порядков спектра, пересекающихся на уровне $\rho(\tilde{v}) = 0,405$. Величина энергетич. эффективности $(\Delta\tilde{v})_i$, выраженная в единицах \tilde{v} , не зависит от порядка спектра. При этом волновое число, соответствующее условию точного «блеска» \tilde{v}_{bl} , равно ср. арифметическому крайних волновых чисел исследуемого спектра: $\tilde{v}_{bl} = (\tilde{v}_1 + \tilde{v}_2)/2$; соответственно $\lambda_{bl} = 1/\tilde{v}_{bl}$. В пределах области дисперсии $(\Delta\tilde{v})_d = \tilde{v}_1 - \tilde{v}_2 = \tilde{v}_2/m$ коэф. отражения $\rho(\tilde{v})$ изменяется в пределах $0,68 < \rho(\tilde{v}) < 1$ для всех порядков спектра (рис. 4).

Практически все серийно изготавляемые нарезные дифракц. решётки и рефлектиры с них являются Э. с разл. числом N_1 и Ω для разл. областей оптич. спектра — от крайней УФ-области ($\lambda = 1$ нм) до длинноволновой ИК-области ($\lambda = 1000$ мкм).

Для УФ-области используются Э. с $N_1 = 3600, 2400, 1800$ и 1200 шт/мм с углом Ω от 30° до 5° для области $1-100$ нм в схеме скользящего падения $\psi = 80-85^\circ$ и с углом $\Omega = 5-20^\circ$ для области $100-400$ нм; для видимой области используются Э. с $N_1 = 1200-600$ шт/мм с $\Omega = 8-20^\circ$; для разл. участков ИК-области — Э. с $N_1 = 300, 200, 100, 50, 12, 6, 4$ шт/мм с $\Omega = 5-20^\circ$.